

# Исследование и испытание магнитной системы электромагнитной ловушки «Юпитер-1М»

ГЕОРГИЕВСКИЙ А. В., ЗИСЕР В. Е., ЛАВРЕНТЬЕВ О. А., НОЗДРАЧЕВ М. Г., ПОГОЖЕВ Д. П.

УДК 621.039.624: 537.212

Экспериментальная установка «Юпитер-1М», предназначенная для получения и исследования плазмы термоядерных параметров (плотностью до  $10^{14} \text{ см}^{-3}$  и средней энергией ионов более 15 кэв) представляет собой ловушку остроугольной геометрии, магнитные щели которой закрыты отрицательными электростати-

где  $A_\phi$  — магнитный потенциал;  $H_r$  — составляющая магнитного поля в плоскости симметрии;  $H_z$  — составляющая магнитного поля на оси;  $r$  и  $z$  — координаты.

Образующая поверхности, ограничивающей плазменный объем, описывается уравнением

$$r^2 z = \text{const} = R^2 a.$$

Расчетные графики распределения напряженности магнитного поля вдоль оси, а также по радиусу в плоскости симметрии установки, траектория силовой линии, лежащей на поверхности, ограничивающей плазменный объем, приведены на рис. 3.

Экспериментальная проверка распределения напряженности вдоль оси, а также по радиусу в плоскости симметрии, проведенная в постоянном режиме при помощи датчика Холла, показала, что фактическая картина распределения  $H$  с точностью до  $\pm 2,5\%$  соответствует расчетной. В точности таких магнитных систем предъявляются достаточно высокие требования (несоосность правой и левой частей не должна превышать 0,05 см, перекос  $30'$ ; несовпадение плоскостей геометрической и магнитной симметрии на среднем радиусе щели не должно быть более 0,01 см). Поэтому экспериментально были определены траектории силовых линий, образующих поверхность, ограничивающую плазменный объем.

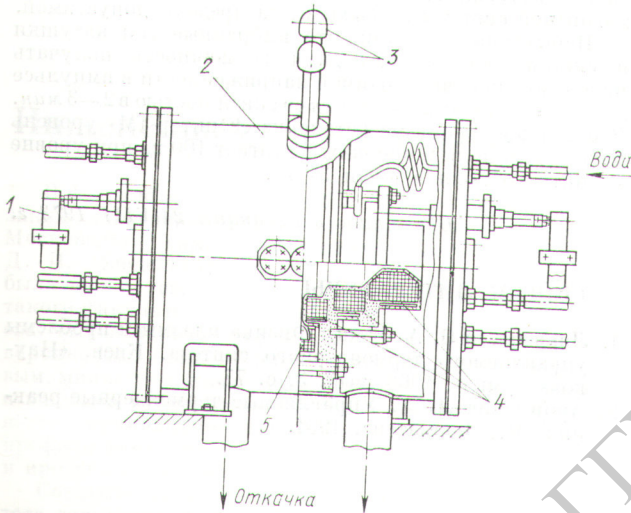


Рис. 1. Установка «Юпитер-1М»:

1 — выводы катушек; 2 — камера; 3 — выводы электродов; 4 — катушки магнитной системы; 5 — изолятор.

ческими потенциалами [1]. Основные параметры и размеры (рис. 1) следующие:

1. Радиус области удержания (от горизонтальной оси до центра кольцевой щели)  $R = 10 \text{ см}$ .
2. Длина области удержания (между продольными магнитными пробками)  $2L = 41 \text{ см}$ .
3. Ширина кольцевой щели  $2a = 0,1 \text{ см}$ .
4. Радиус осевого отверстия (в районе центра крайней катушки)  $r_0 = 0,5 \text{ см}$ .
5. Магнитная система установки питается от конденсаторной батареи емкостью  $0,025 \text{ ф}$  напряжением до  $4,5 \text{ кв}$ . При этом расчетная величина напряженности магнитного поля в пробках  $H_{пр} = 130 \text{ кэ}$ , а в щели  $H_{щ} = 40 \text{ кэ}$ . Длительность полупериода тока в обмотках  $25 \text{ мсек}$ .

Магнитная система установки (рис. 2) выбрана таким образом, что весь магнитный поток, проходящий через кольцевую щель, выходит через осевые отверстия [2]. Магнитное поле в центральной области такой системы описывается уравнениями

$$A_\phi = \frac{H_{щ}}{R} r z; H_r = -\frac{H_{щ}}{R} r; H_z = \frac{2H_{щ}}{R} z,$$

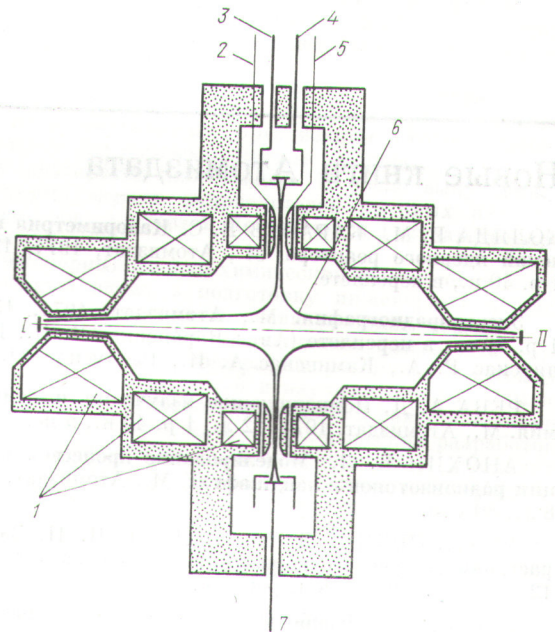


Рис. 2. Магнитная система установки «Юпитер-1М» и схема эксперимента:

1 — катушки; 2, 5 — выводы электродов, ограничивающих щель; 3, 4 — выводы боковых кольцевых электродов; 6 — образующая поверхности, ограничивающей плазменный объем; 7 — центральный электрод; I и II — места расположения электронных пушек.

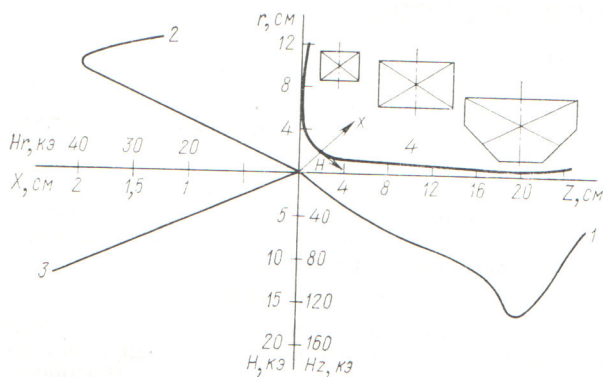


Рис. 3. Распределение напряженности магнитного поля вдоль оси (1), в плоскости симметрии установки «Юпитер-1М» (2), в направлении  $x$  (3) и траектория магнитных силовых линий (4), ограничивающих плазменный объем.

Схема эксперимента показана на рис. 2. В областях I и II (на расстоянии  $\pm 24$  см от центра установки) расположены точечные пушки, конструкция которых позволяет инжектировать в ловушку электроны энергией 30 эВ из любой точки области радиусом 1 см (точность установки по радиусу 0,5 мм).

По величине токов на электроды 2, 3, 4, 5, 7 при различных положениях источника электронов можно судить о совпадении геометрической и магнитной осей, а также геометрической и магнитной плоскостей симметрии. Эксперименты проводились в постоянном режиме при уровне напряженности магнитного поля в проб-

ках 3 кэ и показали, что весь магнитный поток, ограниченный окружностью радиусом 0,5 см в середине осевых отверстий, проходит через щель размером 1 мм и попадает на центральный электрод 7; при увеличении радиуса до 0,6 см часть потока попадает на электроды 3 и 4, а дальнейшее увеличение радиуса приводит к тому, что магнитный поток начинает «цепляться» за электроды 2 и 5, ограничивающие размер щели. При вращении точечных источников вокруг геометрической оси магнитной системы распределение тока на электроды остается неизменным для правой и левой частей установки, что свидетельствует о хорошем совпадении геометрической и магнитной осей, а также геометрической и магнитной плоскостей симметрии. Проведенная при исследовании оценка возможных ошибок показывает, что неточность магнитной системы не выходит за пределы допустимой.

Испытания показали, что выбранный тип катушки и системы охлаждения дают возможность получать магнитное поле необходимой напряженности в импульсе длительностью до 25—30 мкс с скважностью в 2—3 мин. В настоящее время на установке «Юпитер-1М» уровень магнитного поля в пробках достигает 100 кэ при уровне магнитного поля в щели 31 кэ.

Поступило в Редакцию 24/VIII 1973 г.

#### СПИСОК ЛИТЕРАТУРЫ

1. Лаврентьев О. А. В кн.: Физика плазмы и проблемы управляемого термоядерного синтеза. Киев, «Наукова думка», 1968, вып. 3, с. 77.
2. Арцимович Л. А. Управляемые термоядерные реакции. М., Физматгиз, 1961.

## Новые книги Атомиздата

КОЛЯДА В. М., КАРАСЕВ В. С. Калориметрия излучений ядерного реактора. М., Атомиздат, 1974, 12 л., 1 р. 40 к., в переплете.

Электрорадиография. М., Атомиздат, 1974, 15 л., 1 р. 70 к., в переплете (Авт.: Варанецкас И. П., Каваляускас Р. А., Каминскас А. И., Ракаускас Ю. К.).

РЕВА А. Д. Ионизирующие излучения и нейрохимия. М., Атомиздат, 1974, 12 л., 1 р. 40 к., в переплете.

АНОХИН В. Л., Моделирование процессов миграции радиоизотопов в ландшафтах. М., Атомиздат, 1974, 8 л., 80 коп.

ГРОДЗИНСКИЙ Д. М., ГУДКОВ И. Н. Защита растений от лучевого поражения. М., Атомиздат, 1974, 12 л., 1 р. 40 к., в переплете.

БОЛАНД Дж. Приборы контроля ядерного реактора (внутризонные). Перев. с англ. М., Атомиздат, 1974, 16 л., 1 р. 80 к., в переплете.

Сравнительная клеточная и видовая радиочувствительность. Под ред. В. Бонда и Т. Сугахары. Перев. с англ. Под ред. И. Г. Акоева. М., Атомиздат, 1974, 15 л., 1 р. 70 к., в переплете.

МЮЛЛЕР Г., МАЙЕРБЕРГЕР К., ШПРИНЦ Х. Специальные методы анализа стабильных изотопов. Перев. с нем. М., Атомиздат, 1974, 30 л., 3 р. 20 к., в переплете.

РУМЯНЦЕВ С. В. Радиационная дефектоскопия. Изд. 2-е, М., Атомиздат, 1974, 35 л., 3 р. 70 к., в переплете.

ТАРАСЕНКО Н. Д. Вторжение в клетку (радиация и селекция растений). Изд. 3-е, перераб. и доп. М., Атомиздат, 1974, 6 л., 25 к.

ГЛАДКОВ К. А. Атом от А до Я. Изд. 2-е, перераб. и доп. М., Атомиздат, 1974, 12 л., 60 коп., в переплете.

КЮРИ Е. Мария Кюри. Перев. с франц. Изд. 3-е (2-е изд. в 1968 г.). М., Атомиздат, 1974, 20 л., 1 р. 20 к., в переплете.